

INSTITUTO FEDERAL DO ESPÍRITO SANTO
CAMPUS VITÓRIA
MESTRADO PROFISSIONAL EM TECNOLOGIAS SUSTENTÁVEIS

ÁLVARO LUIZ LAGO DE MENEZES

**OTIMIZAÇÃO DE VIGAS DE CONCRETO ARMADO DE SEÇÃO RETANGULAR E
ARMADURA SIMPLES**

Vitória
2019

ÁLVARO LUIZ LAGO DE MENEZES

**OTIMIZAÇÃO DE VIGAS DE CONCRETO ARMADO DE SEÇÃO RETANGULAR E
ARMADURA SIMPLES**

Trabalho apresentado durante a disciplina Métodos de Otimização: Matemáticos e Heurísticos do Programa de Pós-graduação em Tecnologias Sustentáveis do Instituto Federal do Espírito Santo.

Área de Concentração: Desenvolvimento de Produtos e Processos Sustentáveis.

Linha de pesquisa: Linha 1 – Otimização de Serviços, Sistemas e Processos.

Professor: Mário Mestria

Vitória
2019

SUMÁRIO

1 INTRODUÇÃO	4
2 CONCEITOS	5
3 DESENVOLVIMENTO	6
3.1 <i>FUNÇÃO OBJETIVO.....</i>	6
3.2 <i>FUNÇÕES DE RESTRIÇÃO</i>	7
3.2.1 Capacidade de resistência à flexão.....	7
3.2.2 Armadura máxima	8
3.2.3 Capacidade de resistência ao cisalhamento	9
3.2.4 Verificação da flecha limite.....	9
3.2.5 Normas de segurança à instabilidade da viga.....	10
3.3 <i>EXECUÇÃO DOS TESTES.....</i>	11
3 CONCLUSÃO	11
REFERÊNCIA	13
ANEXO I.....	14
ANEXO II.....	21
ANEXO III.....	22
ANEXO IV	23
ANEXO V	24

1 INTRODUÇÃO

O concreto é o material construtivo mais utilizado do mundo, devido a possibilidade de modelagem em diversas formas e tamanhos, por ser resistente à água, pelo seu menor custo e pela sua menor produção de poluentes em relação a outros materiais utilizados na construção civil (Pedroso, 2009).

A Engenharia busca um dimensionamento estrutural correto do concreto armado, tendo em vista a preocupação com a relação custo/benefício e com a utilização sustentável do material. Por se tratar de um processo baseado em experiências, tentativas e erros, o auxílio de métodos computacionais é indicado para obtenção de dimensionamentos com o menor custo possível.

O dimensionamento tradicional do concreto armado é realizado através de iterações onde já se indica uma seção transversal, aproximada por experiências e projetos previamente realizados.

De acordo com as restrições do dimensionamento, uma nova seção transversal é adotada ou não, com a finalidade de atender as restrições ou de diminuir os custos. Por se tratar de um processo de tentativa e erro, o processo torna-se demorado se for feito sem a utilização de métodos computacionais.

Durante o trabalho serão apresentadas a função objetivo de custo e as restrições relativas à otimização de vigas de concreto armado biapoiadas, de seção retangular e armadura simples. Será utilizado o *solver fmincon*, presente no *Optimization Toolbox* do Matlab, para otimização do custo da viga, variando os possíveis algoritmos e comparando seus resultados e performance em termos de iterações.

Como a execução das tarefas era repetitiva, foi criada uma função auxiliar que recebe como parâmetros o comprimento L da viga em metros e executa o *solver fmincon* variando os algoritmos. O código da função está disponível no Anexo I.

Para a execução das tarefas, foi utilizado o Matlab R2018b, versão 9.5.0 em ambiente *Windows*.

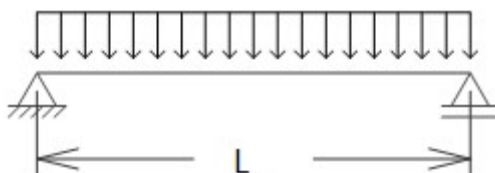
O código e os resultados obtidos nas execuções das tarefas também estão disponíveis no *Github* em <https://github.com/alvarollmenezes/ifes-otimizacao-final>.

2 CONCEITOS

O concreto armado é a associação entre o concreto simples e a armadura passiva convenientemente colocada, de tal maneira que ambos resistam aos esforços solicitantes (Carvalho e Figueiredo, 2014).

O trabalho busca dimensionar vigas biapoiadas com carregamentos distribuídos e comprimento L , conforme a Figura 1.

Figura 1 – Viga biapoiada com carregamento distribuído



Fonte: Acervo pessoal

Vigas de armadura simples possuem dois tipos de armadura: armadura longitudinal, responsável pela resistência ao momento fletor e armadura transversal, responsável pela resistência ao esforço cortante.

Portanto, na formação do custo, que será utilizado como função objetivo na otimização, deve ser calculado o custo do concreto e do aço das armaduras. Também deve ser levado em conta o custo da fôrma de madeira utilizada na construção da viga.

Para o dimensionamento da seção retangular, com vigas de armadura simples, foram admitidas as hipóteses de acordo com a NBR 6118 (2004). As restrições consideradas nas vigas são: a armadura máxima, a capacidade de resistência à flexão, a capacidade de resistência ao cisalhamento, a flecha limite e normas de segurança à instabilidade da viga.

3 DESENVOLVIMENTO

3.1 FUNÇÃO OBJETIVO

O objetivo do problema é minimizar o custo de construção da viga, os custos do concreto, aço e forma estão descritos abaixo, retirados da tabela SINAPI da Caixa Econômica Federal de 2017, referentes ao estado do Espírito Santo.

$$C_c = 314,66 \text{ R\$/m}^3$$

$$C_s = 7,8 \text{ R\$/kg}$$

$$C_f = 70,88 \text{ R\$/m}$$

Os valores de cada material são calculados abaixo:

- Valor total do concreto:

$$V_c = A_c \times C_c$$

Onde:

V_c = Valor total do concreto;

A_c = área da seção transversal do concreto;

C_c = Custo do concreto.

- Valor total do aço:

$$V_s = (A_s + A_{sw}/100) \times \rho_s \times C_s$$

Onde:

V_s = Valor total do aço;

A_s = área da seção longitudinal do aço;

A_{sw} = área da seção transversal do aço;

$\rho_s = 7850 \text{ kg/m}^3$ = Peso específico do aço;

C_s = custo do aço.

- Valor total da forma:

$$V_f = (2 \times h + b) \times C_f$$

Onde:

V_f = Valor total da forma;

h = altura da viga;

b = base da viga;

C_f = custo da forma.

Assim, tem-se o custo total:

$$V_t = V_c + V_s + V_f$$

3.2 FUNÇÕES DE RESTRIÇÃO

As restrições consideradas nas vigas são: a armadura máxima, a capacidade de resistência à flexão, a capacidade de resistência ao cisalhamento, a flecha limite e normas de segurança à instabilidade da viga. Seus cálculos são descritos a seguir.

3.2.1 Capacidade de resistência à flexão

Momento fletor de cálculo: o momento fletor depende do carregamento e dos apoios em uma viga. Os cálculos para cada caso, são encontrados no anexo II. Após calcular o momento fletor, este deve ser multiplicado pelo coeficiente de 1,4.

- Momento fletor de cálculo máximo com armadura simples:

$$M_{d,lim} = 0,272 \times b \times d^2 \times f_{cd}$$

$$Md \leq M_{d,lim} \rightarrow \text{Armadura simples}$$

Tendo-se:

- Resistência de cálculo do concreto à compressão (f_{cd}):

$$f_{cd} = \frac{f_{ck}}{1,4}$$

- d = Altura útil da viga

$$d = 0,9 \times h$$

3.2.2 Armadura máxima

Para a armadura máxima, deve-se levar em conta a seguinte expressão (Restrição 3):

$$A_s/(b d) \leq 0,5\rho_b$$

Onde, de acordo com ACI, ρ_b é o índice de armadura para a condição balanceada, dado pela fórmula:

$$\rho_b = (0,85 f_{ck} \beta_1) / (f_{yk} (1 + f_{yk} / (0,003 E_s)))$$

Onde:

f_{ck} = Resistência de compressão do concreto;

f_{yk} = Valor característico da resistência de escoamento do aço;

E_s = Módulo de elasticidade secante do concreto.

Tendo-se:

$f_{yk} = 500 \text{ MPa}$, $f_{ck} = 20 \text{ MPa}$ e $\beta_1 = 0,85$, para $20 \text{ MPa} \leq f_{ck} \leq 40 \text{ MPa}$, definido na seção 10.2.7.3 da norma ACI (1998). β_1 é um fator e este depende da resistência de compressão do concreto.

3.2.3 Capacidade de resistência ao cisalhamento

Para determinar a capacidade de resistência ao cisalhamento, devemos levar em conta a força cortante de cálculo máxima resistida por compressão diagonal das bielas de concreto. A força cortante de cálculo não pode ultrapassar a força cortante de cálculo máxima (Restrição 4):

$$V_{Rd2} = 0,45bdvf_{cd}$$

$$V_d < V_{Rd2} \rightarrow OK!$$

Tendo-se:

- Coeficiente de redução da resistência do concreto fissurado por força cortante:

$$v = 0,6 \times (1 - f_{ck}/250)$$

- Resistência de cálculo do concreto à compressão (f_{cd}):

$$f_{cd} = f_{ck}/1,4$$

- Esforço cortante de cálculo em kN (V_d):

$$V_d = (p \times L)/2$$

- Carregamento da viga em kN/m (p):

$$p = (1,4 \times (g_{pp} + g + q))$$

- Carga do peso próprio da viga em kN/m (g_{pp}):

$$g_{pp} = h/100 * b/100 * 25$$

- Carregamento permanente em kN/m(g):

$$g = 22$$

3.2.4 Verificação da flecha limite

A flecha total não deve ultrapassar a flecha limite, sendo a flecha máxima para limitar o efeito visual desagradável (Restrição 5):

$$f_{total} \leq f_{limite}$$

Tendo-se:

- Cálculo da flecha limite em m:

$$f_{limite} = L/250$$

- Flecha total é definida a seguir:

$$f_{total} = f_{imediata} + f_{diferida}$$

- Cálculo da flecha imediata é escrito como:

$$f_{imediata} = f_{elástica} * I_c/I_e$$

- Flecha elástica ($f_{elástica}$): depende do carregamento e dos apoios em uma viga. Entra em vigor ao entrar em carga. Os cálculos para cada caso, são encontrados no Anexo II.

- Momento de inércia da seção bruta para seção retangular (I_c):

$$I_c = b * h^3/12$$

- O momento de inércia da seção (I_e) é calculado de acordo com o Anexo V, na seção flecha imediata.
- Para a flecha diferida ($f_{diferida}$): ocorre do efeito da fluência no concreto, o cálculo também segue o indicado no Anexo V.

3.2.5 Normas de segurança à instabilidade da viga

As normas de segurança estão definidas conforme a NBR 6118 (2004).

A segurança à instabilidade lateral de vigas deve ser garantida através de procedimentos apropriados. Como procedimento aproximado pode-se adotar, para vigas de concreto, com armaduras passivas ou ativas, sujeitas à flambagem lateral, as seguintes condições (NBR 6118, 2004, p. 100).

- Restrição 6:

$$b \geq L/50$$

- Restrição 7:

$$h \geq 25$$

- Restrição 8:

$$b \geq \beta_{fl} h$$

Sendo que para a topologia da viga utilizada, de acordo com a NBR 6118: $\beta_{fl} = 0,4$.

3.3 EXECUÇÃO DOS TESTES

O *solver fmincon* precisa de um palpite inicial de solução (x_0), para isso adota-se uma altura e uma base inicial para a seção transversal da viga, de acordo com a NBR 6118 (2004):

- Para a estimativa da altura (h), em uma viga biapoiada:

$$h = 10 * L$$

- Para a estimativa da base (b):

$$b = 3 * L$$

Foram executados três testes com comprimentos de viga 5m, 6m e 7m, o código executado foi respectivamente:

```
>> app(5);
```

```
>> app(6);
```

```
>> app(7);
```

Os resultados estão nos arquivos *out_comprimento5.pdf*, *out_comprimento6.pdf* e *out_comprimento7.pdf* no Github.

3 CONCLUSÃO

Todos os testes convergiram para a solução ótima, mostrando que o problema tem um comportamento adequado para todos os algoritmos.

Como não foi possível calcular os gradientes das funções objetivo nem de algumas das restrições, não foi possível testar a execução com o algoritmo *trust-region-reflective*, pois este requer o gradiente da função objetivo.

Quanto a performance em termos de iterações e execuções da função objetivo, os algoritmos *sqp* e *active-set* foram os mais rápidos, com o *sqp* sendo o mais rápido, por uma pequena margem.

Tabela 1 Resultados das execuções

			Comprimento da Viga		
			5m	6m	7m
Algoritmos	SQP	Iterações	5	4	4
		FuncEvals	18	15	15
		b (cm)	22,3128	26,298	30,2104
		h (cm)	55,7821	65,745	75,5259
		Valor / m (R\$/m)	186,01	230,65	278,67
		Valor Total (R\$)	930,07	1383,87	1950,72
	Interior-point	Iterações	15	15	7
		FuncEvals	52	52	25
		b (cm)	22,3128	26,298	30,2104
		h (cm)	55,7821	65,745	75,5259
		Valor / m (R\$/m)	186,01	230,65	278,67
		Valor Total (R\$)	930,07	1383,87	1950,72
	Active-set	Iterações	6	6	5
		FuncEvals	18	18	15
		b (cm)	22,3128	26,298	30,2104
		h (cm)	55,7821	65,745	75,5259
		Valor / m (R\$/m)	186,01	230,65	278,67
		Valor Total (R\$)	930,07	1383,87	1950,72

REFERÊNCIA

AMERICAN CONCRETE INSTITUTE. **ACI 318-98**: Building code requirements for reinforced concrete, 1998.

ASSOCIAÇÃO BRASILEIRA DE NORMAS TÉCNICAS. **NBR 6118**: Projetos de estruturas de concreto: procedimento. Rio de Janeiro, RJ. 2004.

CARVALHO R. C.; FIGUEIREDO FILHO J. R. **Cálculo e detalhamento de estruturas usuais de concreto armado**. 4 ed. São Carlos: EdUFSCar, 2014.

MAIA, J. P. R. **Otimização estrutural: estudo e aplicações em problemas clássicos de vigas utilizando a ferramenta Solver**. 2009. 83 f. Dissertação (Mestrado em Engenharia Civil) – Escola de Engenharia de São Carlos, Universidade de São Paulo, São Carlos, SP. 2009.

MUSSO JUNIOR, F. **Estruturas de Concreto**. Vitória, ES. 2012. (Apostila).

PEDROSO, Fábio Luís. Concreto: as origens e a evolução do material construtivo mais usado pelo homem. **Concreto: material construtivo mais consumido no mundo**. São Paulo, SP. 53, p. 14-19, jan-mar, 2009.

PRAVIA, Z. M. C. **Exemplo de um Projeto Completo de um Edifício de Concreto Armado**. São Paulo, SP. 2001.

ANEXO I

Arquivo app.m:

```
function resp = app(L)

    x0 = [3*L, 10*L];
    % x0 = [-1, 1];
    lb = [ ]; % No lower bounds
    ub = [ ]; % No upper bounds

    objfungrad(x0);

    options = optimoptions(@fmincon,'Algorithm','sqp');
    [x1, fval1, exitflag1, output1] =
fmincon(@objfungrad,x0,[],[],[],[],...
        lb,ub,@confungrad,options)

    options = optimoptions(@fmincon,'Algorithm','interior-point');
    [x2, fval2, exitflag2, output2] =
fmincon(@objfungrad,x0,[],[],[],[],...
        lb,ub,@confungrad,options)

    options = optimoptions(@fmincon,'Algorithm','active-set');
    [x3, fval3, exitflag3, output3] =
fmincon(@objfungrad,x0,[],[],[],[],...
        lb,ub,@confungrad,options)

    function f = objfungrad(x)
        f = custo(x(1), x(2), L);
    end

    function [c,ceq] = confungrad(x)
        c = restricoes(x(1), x(2), L);
        ceq = [];
    end

end
```

Arquivo custo.m:

```

%
% Calculo do custo da viga (aço + concreto + forma)
%
% b = base da viga em cm
% h = altura da viga em cm
% L = comprimento da viga em m
%
function f = custo(b, h, L)
    Asl = asl(b, h, L);
    Asw = asw(b, h, L);

    %%% AÇO
    % Área do aço
    As = Asl + Asw / 100 * L; % cm2
    Asm = As / 10000; % m2

    % Peso específico do aço
    ROs = 7850; % kg/m3

    % Custo do aço (2017)
    Cs = 7.8; % R$/kg

    % Valor do aço por m
    Vs = Cs * ROs * Asm; % R$/m

    %%% CONCRETO
    % Área do concreto
    Ac = b * h; % cm2
    Acm = Ac / 10000; % m2

    % Custo do Concreto (2017)
    Cc = 314.66; % R$ / m3

    % Valor do concreto por m
    Vc = Acm * Cc; % R$ / m

    %%% FORMA
    % Perímetro da forma
    p = 2 * h + b; % cm
    pm = p / 100; % m

    % Custo da montagem e materiais da forma de madeira (2017)
    Cf = 70.88; % R$ / m2

    % Valor da forma por m
    Vf = pm * Cf; % R$ / m

    % Valor total
    f = Vc + Vs + Vf;

end

```

Arquivo restricoes.m:

```

%
% Conjunto de restrições do problema
%
% b = base da viga em cm
% h = altura da viga em cm
% L = comprimento da viga em m
%
function c = restricoes(b, h, L)

    hm = h / 100; % m
    bm = b / 100; % m

    fck = 2; % 2 kN / cm² = 20 Mpa
    v = 0.552;
    % Módulo de elasticidade secante do concreto
    Ecs = 2128.74; % kN / cm²
    fctf = 0.221; % kN / cm²
    n = 9.865;
    Es = 21000; % kN / cm²

    fyk = 50; % 50 kN / cm² = 500 Mpa
    % Carregamento permanente
    g = 22; % kN/m
    % Carregamento variável
    q = 11; % kN/m
    Lcm = L * 100; % cm

    % Resistência de cálculo do concreto e do aço
    fcd = fck / 1.4; % kN / cm²
    fcdm = fcd * 10000; % kN / m²

    % altura útil
    d = 0.9 * h; % cm
    dm = d / 100; % m

    % Carga do peso próprio
    gpp = hm * bm * 25; % kN/m

    % Carregamento
    p = 1.4 * ( gpp + g + q ); % kN / m

    % Armadura longitudinal
    % Momento de cálculo
    Md = p * L * L / 8; % kNm
    Mdcm = Md * 100;

    % Momento limite
    Mdlim = 0.272 * bm * dm * dm * fcdm; % kNm

```



```

% 4.4 Dimensionamento devido ao Momento Fletor
% Restrição 1 - para armadura longitudinal simples
c(1) = Md - Mdlim;

% Altura da Linha neutra
x = 1.25 * d * ( 1 - sqrt( 1 - ( Mdcm / ( 0.425 * b * d * d * fcd )
) ) ); % cm

% 4.4 Dimensionamento devido ao Momento Fletor
% Restrição 2 - verificaçao da ductilidade das estruturas
c(2) = x - 0.5 * d;

% Armadura longitudinal
Asl = asl(b, h, L);

roB = 0.85 * fck * 0.85 / ( fyk * ( 1 + fyk / ( 0.003 * Es ) ) );

% 4.1 Funções restrições
% Restrição 3 - verificaçao da armadura máxima
c(3) = Asl / ( b * d ) - 0.5 * roB;

% Esforço cortante de cálculo
Vd = p * L / 2; % kN

% Força cortante de cálculo máxima resistida por compressão das
bielas
Vrd2 = 0.45 * b * d * v * fcd; % kN

% 4.5 Dimensionamento devido ao Esforço Cortante
% Restrição 4 - verificaçao das bielas comprimidas
c(4) = Vd - Vrd2;

% Verificações no estado limite de serviço
% formulas.executarVerificacoes = ( Asl ) => {
% Momento de inércia da seção bruta
Ic = b * h * h * h / 12; % cm^4

% Carregamento quase permanente
Pqp = gpp + g + 0.4 * q; % kN / m
Pqpcm = Pqp / 100; % kN / cm

% Flecha elástica
felastica = 5 * Pqpcm * Lcm * Lcm * Lcm * Lcm / ( 384 * Ecs * Ic ) *
10; % mm

```

```

% Flecha imediata

% Momento fletor da a??o quase permanente
Mqp = Pqp * L * L / 8; % kNm
Mqpcm = Mqp * 100; % kNcm

% Momento fletor de fissura??o
Mr = b * h * h / 6 * fctf; % kNcm

%a1, a2, a3, x2, I2, Ie;
if ( Mqpcm >= Mr ) % Est?dio II com fissura??o
    % Momento de in?rcia da sess?o no est?dio II ( para armadura
    simples )
    a1 = b / 2;
    a2 = n * Asl;
    a3 = -n * Asl * d;
    x2 = ( -a2 + sqrt( a2 * a2 - 4 * a1 * a3 ) ) / ( 2 * a1 );
    I2 = b * x2 * x2 * x2 / 3 + n * Asl * ( d - x2 ) * ( d - x2 );

    divisaoIe = ( Mr / Mqpcm ) * ( Mr / Mqpcm ) * ( Mr / Mqpcm );

    Ie = divisaoIe * Ic + ( 1 - divisaoIe ) * I2;
else
    Ie = Ic;
end

fimediata = felastica * ( Ic / Ie ); % mm

% Flecha diferida

% Para t0/t = 1 / 70 meses
alfaF = 1.323;

fdiferida = alfaF * fimediata; % mm

% Flecha total
fTotal = fimediata + fdiferida; % mm

% Flecha limite
flimite = L * 1000 / 250; % mm

% 4.6 Verifica??o de flecha
% Restri??o 5 - verifica??o da flecha total
c(5) = fTotal - flimite;

% Restri??o 6 - seguran?a a instabilidade da viga NBR 6118
c(6) = -b + 2*L;
% Restri??o 7 - seguran?a a instabilidade da viga NBR 6118
c(7) = -h + 25;
% Restri??o 8 - seguran?a a instabilidade da viga NBR 6118
c(8) = -b + 0.4*h;

end

```

Arquivo asl.m:

```
function f = asl(b, h, L)

    hm = h / 100; % m
    bm = b / 100; % m

    fck = 2; % 2 kN / cm² = 20 Mpa
    fyk = 50; % 50 kN / cm² = 50 Mpa

    % Carregamento permanente
    g = 22; % kN/m
    % Carregamento variável
    q = 11; % kN/m

    % Resistência de cálculo do concreto e do aço
    fcd = fck / 1.4; % kN / cm²
    fyd = fyk / 1.15; % kN / cm²

    % altura útil
    d = 0.9 * h; % cm

    % Carga do peso próprio
    gpp = hm * bm * 25; % kN/m

    % Carregamento
    p = 1.4 * ( gpp + g + q ); % kN / m

    % Armadura longitudinal
    % Momento de cálculo
    Md = p * L * L / 8; % kNm
    Mdcm = Md * 100;

    % Altura da Linha neutra
    x = 1.25 * d * ( 1 - sqrt( 1 - ( Mdcm / ( 0.425 * b * d * d * fcd )
    ) ) ); % cm

    % Armadura longitudinal
    Asl = 0.68 * b * x * fcd / fyd; % cm²

    % Armadura longitudinal mínima
    Aslmin = 0.15 / 100 * b * h;

    % Armadura longitudinal final
    f = max( Asl, Aslmin );

end
```

Arquivo asw.m:

```
function f = asw(b, h, L)

    hm = h / 100; % altura em m
    bm = b / 100; % base em m

    fyk = 50; % 50 kN / cm2 = 50 Mpa

    fctd = 0.1105; % kN / cm2
    % Módulo de elasticidade secante do concreto
    % Carregamento permanente
    g = 22; % kN/m
    % Carregamento variável
    q = 11; % kN/m

    % Resistência de cálculo do concreto e do aço
    fyd = fyk / 1.15; % kN / cm2

    % altura útil
    d = 0.9 * h; % cm

    % Carga do peso próprio
    gpp = hm * bm * 25; % kN/m

    % Carregamento
    p = 1.4 * ( gpp + g + q ); % kN / m

    % Esforço cortante de cálculo
    Vd = p * L / 2; % kN

    % Armadura transversal
    s = 100;

    % Força cortante resistida por outros mecanismos
    Vc = 0.6 * b * d * fctd; % kN

    % Armadura transversal
    Asw = ( Vd - Vc ) * s / ( 0.9 * d * fyd ); % cm2 / m

    % Armadura transversal mínima
    AswMin = 0.088 / 100 * b * s; % cm2 / m

    % Armadura transversal final
    f = max( Asw, AswMin );

end
```

ANEXO II

VIGA - MOMENTO FLETOR, FORÇA CORTANTE, MOMENTO TORÇOR E FLECHA										
Momento Fletor ($\alpha = a/L$; $\beta = b/L$)										
Sistema										
Carga	$M_{\text{máx}}; x_0/L$	$M_{\text{máx}}; x_0/L$		M_{dir}	$M_{\text{máx}}; x_0/L$	M_{esq}	M_{dir}	M_{esq}		M_{esq}
	$\frac{pL^2}{8}; 0,5$	$\frac{9pL^2}{128}; 0,375$		$-\frac{pL^2}{8}$	$\frac{pL^2}{24}; 0,5$	$-\frac{pL^2}{12}$	$-\frac{pL^2}{12}$	$-\frac{pL^2}{2}$		$-\frac{pL^2}{2}$
	$\frac{pL^2}{9\sqrt{3}}; 0,577$	$\frac{pL^2}{15\sqrt{5}}; 0,447$		$-\frac{pL^2}{15}$	$\frac{pL^2}{46,64}; 0,548$	$-\frac{pL^2}{30}$	$-\frac{pL^2}{20}$	$-\frac{pL^2}{3}$		$-\frac{pL^2}{3}$
	$\frac{pL^2}{9\sqrt{3}}; 0,423$	$\frac{pL^2}{23,65}; 0,329$		$-\frac{7pL^2}{120}$	$\frac{pL^2}{46,64}; 0,452$	$-\frac{pL^2}{20}$	$-\frac{pL^2}{30}$	$-\frac{pL^2}{6}$		$-\frac{pL^2}{6}$
$L/2 \downarrow$	$\frac{PL}{4}; 0,5$	$\frac{5PL}{32}; 0,5$		$-\frac{3PL}{16}$	$\frac{PL}{8}; 0,5$	$-\frac{PL}{8}$	$-\frac{PL}{8}$	$-\frac{PL}{2}$		$-\frac{PL}{2}$
$a \downarrow b$	$\alpha\beta PL; \alpha$	$\frac{3-\beta}{2}\alpha\beta^2 PL; \alpha$		$-\frac{1-\alpha^2}{2}\alpha PL$	$2\alpha^2\beta^2 PL; \alpha$	$-\alpha\beta^2 PL$	$-\alpha^2\beta PL$	$-\alpha PL$		$-\alpha PL$
Força Cortante ($\alpha = a/L$; $\beta = b/L$)										
Sistema										
Carga	V_{esq}	V_{dir}	V_{esq}	V_{dir}	V_{esq}	V_{dir}	V_{esq}	V_{dir}	V_{esq}	
	$\frac{pL}{2}$	$-\frac{pL}{2}$	$\frac{3pL}{8}$	$-\frac{5pL}{8}$	$\frac{pL}{2}$	$-\frac{pL}{2}$	pL		pL	
	$\frac{pL}{6}$	$-\frac{pL}{3}$	$\frac{pL}{10}$	$-\frac{2pL}{5}$	$0,15pL$	$-0,35pL$	$\frac{pL}{2}$		$\frac{pL}{2}$	
	$\frac{pL}{3}$	$-\frac{pL}{6}$	$\frac{11pL}{40}$	$-\frac{9pL}{40}$	$0,35pL$	$-0,15pL$	$\frac{pL}{2}$		$\frac{pL}{2}$	
$L/2 \downarrow$	$\frac{P}{2}$	$-\frac{P}{2}$	$\frac{5P}{16}$	$-\frac{11P}{16}$	$\frac{P}{2}$	$-\frac{P}{2}$	P		P	
$a \downarrow b$	βP	$-\alpha P$	$\frac{3-\beta}{2}\beta^2 P$	$-\frac{3-\alpha^2}{2}\alpha P$	$(3-2\beta)\beta^2 P$	$-(3-2\alpha)\alpha^2 P$	P		P	
Momento Torçor ($\alpha = a/L$; $\beta = b/L$)										
Carga										
Sistema	T_{esq}	T_{dir}	T_{esq}	T_{dir}	T_{esq}	T_{dir}	T_{esq}	T_{dir}	T_{esq}	T_{dir}
	$\frac{tL}{2}$	$-\frac{tL}{2}$	$\frac{tL}{6}$	$-\frac{tL}{3}$	$\frac{tL}{3}$	$-\frac{tL}{6}$	$\frac{T}{2}$	$-\frac{T}{2}$	βT	$-\alpha T$
	$\frac{tL}{6}$	$-\frac{tL}{3}$	$\frac{tL}{3}$	$-\frac{tL}{6}$	$\frac{T}{2}$	$-\frac{T}{2}$	βT		$-\alpha T$	
	$\frac{tL}{3}$	$-\frac{tL}{6}$	$\frac{T}{2}$	$-\frac{T}{2}$						
$L/2 \rightarrow$	$\frac{T}{2}$	$-\frac{T}{2}$	$\frac{T}{2}$	$-\frac{T}{2}$						
$a \rightarrow b$	βT	$-\alpha T$								
Flechas ($\alpha = a/L$; $\beta = b/L$)										
Sistema										
Carga	$\Delta_{\text{máx}}; x_0/L$		$\Delta_{\text{máx}}; x_0/L$		$\Delta_{\text{máx}}; x_0/L$		Δ_{dir}			
	$\frac{5pL^4}{384EI}; 0,5$		$\frac{pL^4}{184,6EI}; 0,422$		$\frac{pL^4}{384EI}; 0,5$		$\frac{pL^4}{8EI}$			
	$0,00652 \frac{pL^4}{EI}; 0,519$		$\frac{pL^4}{419,3EI}; 0,447$		$\frac{pL^4}{764,2EI}; 0,525$		$\frac{11pL^4}{120EI}$			
	$0,00652 \frac{pL^4}{EI}; 0,481$		$\frac{pL^4}{328,1EI}; 0,402$		$\frac{pL^4}{764,2EI}; 0,475$		$\frac{pL^4}{30EI}$			
$L/2 \downarrow$	$\frac{PL^3}{48EI}; 0,5$		$\frac{PL^3}{48\sqrt{5}EI}; 0,447$		$\frac{PL^3}{192EI}; 0,5$		$\frac{5PL^3}{48EI}$			
$a \downarrow b$	$\frac{(3-4\alpha^2)\alpha PL^3}{48EI}; \alpha \leq 0,5$		-		-		$\frac{(3-\alpha)\alpha^2 PL^3}{6EI}$			
[MUSO]										

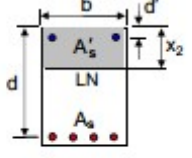
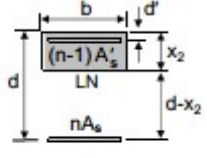
ANEXO III

VIGA - FORMULÁRIO DE DIMENSIONAMENTO DE SEÇÃO RETANGULAR À FORÇA CORTANTE (ELU-V)					
A_{sw}	área da seção da armadura transversal	h	altura da seção transversal	V_c	força cortante resistida por outros mecanismos
$A_{sw,min}$	área mínima da seção da armadura transversal	M_d	momento fletor de cálculo	V_d	$1,4(V_G + V_Q)$ força cortante de cálculo
b	largura da seção transversal	s	espaçamento longitudinal entre estribos	V_{Rd2}	força cortante de cálculo máxima resistida por compressão diagonal das bielas de concreto
C	força de compressão nas bielas de concreto			V_G	força cortante da ação permanente G
d	altura útil da seção transversal			V_Q	força cortante da ação variável Q
	distância do centróide da armadura tracionada à borda comprimida da seção transversal			V_{sw}	força cortante de cálculo resistida pela armadura transversal
f_{cd}	$f_{ck}/1,4$ resistência de cálculo do concreto à compressão	z	braço de alavanca		
f_{ck}	resistência característica do concreto à compressão aos 28 dias	β	ângulo da tensão principal de tração		
f_{ctd}	$f_{ctk}/1,4$ resistência de cálculo do concreto à tração	v	$0,6(1 - f_{ck}/250)$ (f_{ck} em MPa) coeficiente de redução da resistência do concreto fissurado por força cortante		
f_{ctk}	$0,7f_{ctm}$ resistência característica do concreto à tração	σ_c	tensão principal de compressão		
f_{ctm}	$0,3f_{ck}^{2/3}$ (f_{ck} em MPa) resistência média do concreto à tração	σ_t	tensão principal de tração		
f_{yk}	$f_{yk}/1,15$ resistência de cálculo de escoamento do aço	τ	tensão tangencial da força cortante		
f_{yk}	resistência característica de escoamento do aço	θ	ângulo das bielas de concreto comprimidas		
F_c	força de compressão no concreto				
F_s	força de tração na armadura longitudinal				

Analogia de treliça					
A – Verificação da compressão diagonal do concreto (dados b , d e f_{ck} , obter V_{Rd2} ; $V_d \leq V_{Rd2}$)					
cálculo	simplicado θ (45°)	refinado θ (30° a 45°)			
V_{Rd2}	$0,45bdvf_{cd}$	$0,45bdvf_{cd}\sin 2\theta$			A1
f_{ck} MPa	20	25	30	35	
v	0,552	0,540	0,528	0,516	
$V_{Rd2} / (bd)$	θ (45°)	0,355	0,434	0,509	0,581
	θ (30°)	0,307	0,376	0,441	0,503
obs.: $V_{Rd2}/(bd)$ em kN/cm ²					
B – Dimensionamento da armadura transversal (dados V_d , b , d , f_{ck} e f_{yk} , obter A_{sw})					
cálculo	simplicado θ (45°)	refinado θ (30° a 45°)			
A_{sw}	$\frac{(V_d - V_c)s}{0,9df_{yd}}$	$\frac{(V_d - V_c)s}{0,9df_{yd}\cot\theta}$			B1
V_c	V_o	$V_d \leq V_o$ V_o	$V_d > V_o$ $\left[\frac{V_{Rd2} - V_d}{V_{Rd2} - V_o} \right] V_o$		B2
V_o	$0,6bdf_{cd}$				B3
$A_{sw,min}$	$0,2bsf_{ctm} / f_{yk}$				B4
f_{ck} MPa	20	25	30	35	
f_{ctm} MPa	2,210	2,565	2,896	3,210	
f_{cd} MPa	1,105	1,282	1,448	1,605	
$V_o / (bd)$	0,0663	0,0769	0,0869	0,0963	
$A_{sw,min} / (bs)$	0,088%	0,103%	0,116%	0,128%	
obs.: $V_o/(bd)$ em kN/cm ² e $A_{sw,min}/(bs)$ para $f_{yk} = 500$ MPa					
[MUSO]					

Modelo resistente à força cortante no estado limite último	
Compressão diagonal das bielas de concreto (corte a-a)	
(a) $V_{Rd2} = C \sin \theta = b z v f_{cd} \cos \theta \sin \theta = 0,45 b d v f_{cd} \sin 2\theta$	
Tração transversal dos estribos (corte b-b)	
número de estribos em $z \cot \theta$ (b) $V_d = V_{sw} + V_c$ ou $V_{sw} = V_d - V_c$ (c) $V_{sw} = z \frac{A_{sw}}{s} f_{yd} \cot \theta = 0,9d \frac{A_{sw}}{s} f_{yd} \cot \theta$ (b) em (c): $A_{sw} = \frac{(V_d - V_c)s}{0,9df_{yd} \cot \theta}$	

ANEXO V

VIGA - VERIFICAÇÃO DE FLECHA EM VIGA DE SEÇÃO RETANGULAR (ELS-DEF)									
A_s	área da seção da armadura longitudinal tracionada	L_{bal}	comprimento do balanço	M_G	momento fletor da ação permanente G	M_Q	momento fletor da ação variável Q	M_{QP}	$M_G + \psi_2 M_Q$ momento fletor da ação quase permanente p_{QP} (momento positivo no vão; momento no engaste, no caso de balanço)
A'_s	área da seção da armadura longitudinal comprimida	M_r	W_{ef} momento fletor de fissuração	n	E_s/E_{cs} razão entre os módulos de elasticidade do aço e do concreto	p_{QP}	$G + \psi_2 Q$ ação quase permanente	Q	ação variável
b	largura da seção transversal	x_2	profundidade da linha neutra no estágio 2	x_c	profundidade da linha neutra da seção bruta	t	tempo que se deseja calcular a flecha (meses)	t_0	idade do concreto ao entrar em carga (meses)
d	altura útil da seção transversal	y_t	$h - x_c$ distância do centróide da seção bruta à fibra extrema tracionada	W_c	I_o/y_t ($bh^3/6$ para seção retangular) módulo resistente da seção bruta	α	1,0 (EC2); 1,5 seção retangular (NBR 6118)	α_f	coeficiente para levar em conta a fluência do concreto no cálculo da flecha diferida
d'	distância do centróide da armadura comprimida à borda comprimida da seção transversal	ψ_2	0,3 para edifícios residenciais						
d''	distância do centróide da armadura comprimida à borda comprimida da seção transversal		0,4 para edifícios comerciais, de escritórios, estações e edifícios públicos						
d''	$h - d$		0,6 para bibliotecas, oficinas e garagens						
E_{cs}	$4760f_{ck}^{1/2}$ MPa módulo de elasticidade secante do concreto	ρ'	fator de redução da ação variável para combinação de ação quase permanente						
E_s	210000 MPa módulo de elasticidade do aço		$A_s/(bd)$ taxa geométrica de armadura longitudinal comprimida						
f_{ck}	resistência característica do concreto à compressão aos 28 dias								
f_{ctf}	αf_{ctm} resistência do concreto à tração na flexão								
f_{ctm}	$0,3f_{ck}^{2/3}$ (f_{ck} em MPa) resistência média do concreto à tração								
$f_{diferida}$	flecha do efeito da fluência do concreto								
$f_{elástica}$	flecha obtida com $p = p_{QP}$, $E = E_{cs}$ e $I = I_c$								
$f_{imedata}$	flecha da viga ao entrar em carga								
f_{limite}	flecha máxima para limitar efeito visual desagradável								
f_{total}	$f_{imedata} + f_{diferida}$ flecha total								
G	ação permanente								
h	altura da seção transversal								
I_2	momento de inércia da seção no estágio 2								
I_c	$bh^3/12$ para seção retangular								
I_o	momento de inércia da seção bruta								
I_e	momento de inércia efetivo da seção								
L	vão entre apoios								
A – Flecha elástica					F - Parâmetros auxiliares				
$f_{elástica}$ (ver flechas em diversos sistemas)	A1	f_{ck} MPa	20	25	30	35			
		f_{ctm} MPa	2,210	2,565	2,896	3,210			
B – Flecha imediata		$f_{ct,EC2}$ MPa	2,210	2,565	2,896	3,210			
$f_{imedata} = f_{elástica} \frac{I_c}{I_e}$	B1	E_{cs} MPa	21287	23800	26072	28161			
		$n = E_s/E_{cs}$	9,865	8,824	8,055	7,457			
seção fissurada ($M_{QP} \geq M_r$)	B2	G – Seção equivalente (seção fissurada – estágio 2)							
$I_e = \left(\frac{M_r}{M_{QP}} \right)^3 I_c + \left[1 - \left(\frac{M_r}{M_{QP}} \right)^3 \right] I_2$ (BRANSON)		seção real	seção equivalente de concreto						
seção não fissurada ($M_{QP} < M_r$)	B3								
$I_e = I_c$									
C – Flecha diferida	C1	$f_{diferida} = \alpha_f f_{imedata}$							
$\alpha_f = \frac{\xi(t) - \xi(t_0)}{1 + 50\rho'}$	C2	$x_2 = [-a_2 + \sqrt{a_2^2 - 4a_1a_3}] / (2a_1)$				G1			
$\xi(t \leq 70 \text{ meses})$	C3	$a_1 = b/2$				G2			
$\xi(t > 70 \text{ meses})$		$a_2 = nA_s + (n-1)A'_s$				G3			
		$a_3 = -nA_s d - (n-1)A'_s d'$				G4			
t meses	1	3	6	12	≥ 70				
$\xi(t)$	0,68	0,95	1,18	1,44	2,00				
D – Flecha total	D1	$I_2 = \frac{bx_2^3}{3} + nA_s(d-x_2)^2 + (n-1)A'_s(x_2-d')^2$				G5			
$f_{total} = f_{imedata} + f_{diferida} \leq f_{limite}$									
E – Flecha limite	E1	profundidade da l. neutra $x = \sum x_i A_i / \sum A_i$	momento de inércia $I = \sum (I_i + A_i \Delta_i^2)$						
$f_{limite} = \frac{L}{250}$ ($L = 2L_{bal}$, no caso de balanço)									
[MUSO]									